

# Simulation numérique pour le micromagnétisme

Stéphane Labbé

Université Paris 11, Laboratoire de Mathématique.

Mini Symposium 4, CANUM 2006



# Plan

- 1 Le modèle du micromagnétisme
- 2 La simulation numérique pour le micromagnétisme
  - Simulation de l'évolution de l'aimantation
  - Simulation de la susceptibilité hyperfréquence
- 3 Quelques simulations
  - Simulation de l'évolution



# Bases du micromagnétisme

## Fonctionnelle d'énergie et système dynamique

$$E(m) = \frac{A}{2} \int_{\Omega} |\nabla m|^2 + \frac{1}{2} \int_{\mathbb{R}^3} |H_d(m)|^2 + \int_{\Omega} \phi(m) - \int_{\Omega} m \cdot H_{\text{ext}}$$

## Landau et Lifchitz

$$\frac{\partial m}{\partial t} = -m \wedge H(m) - \alpha m \wedge (m \wedge H(m)),$$

où  $H(m)$  est le champ effectif.



# Bases du micromagnétisme

Le champ effectif est en fait l'opposé de la différentielle de l'énergie  $E(m)$  par rapport à  $m$ .

On se place ici dans le cas où :  $\Phi(m) = \frac{K}{2}(|m|^2 - (m \cdot u)^2)$  où  $u$  est un élément de  $L^\infty(\mathbb{R}^3, S^2)$ .

## Champ effectif

$$H(m) = A\Delta m + H_d(m) + K(m \cdot u)u + H_{ext},$$



# Bases du micromagnétisme

Quelques remarques :

- Les solutions d'équilibre vérifient :  $\|H(m) \wedge m\|_{0,\Omega} = 0$ .
- Si le champ extérieur est indépendant du temps, l'énergie des solutions du système de Landau et Lifchitz décroît.
- La norme locale des solutions du système de Landau et Lifchitz est conservée.

**Lien entre dynamique et statique** : au moins formellement, les états asymptotiques du système de Landau et Lifchitz sont des états d'équilibre du système statique. Le processus dynamique permet de “choisir” des états d'équilibre particuliers.



# Les objectifs de la simulation

**Problème numériques** : construire un schéma conservant au mieux les principales propriétés de système

- Les propriétés du champ démagnétisant,
- La conservation de la norme locale de l'aimantation,
- La décroissance de l'énergie.

**Problème physique** : il faut pouvoir comparer les résultats obtenus numériquement avec les résultats expérimentaux.

Pour cela, plusieurs moyens

- calcul de cycles d'hystérésis : demande de calculer de nombreux états d'équilibre, d'où la nécessité de calculs rapides.
- calcul de la susceptibilité hyperfréquence : effectué à partir des équations de Landau Lifchitz linéarisées.



# EMicroM – Champ démagnétisant

**Problématique** : conserver les propriétés de l'opérateur continu (positivité et norme inférieure à un) mais aussi avoir une méthode de calcul performante.

**Discrétisation de type volumes finis** : utilisation de la formule de représentation du champ démagnétisant

## Formule de représentation

$$H_d(m) = -A(m) = \mathbf{grad} \operatorname{div} \left( m \star \frac{1}{4\pi |x|} \right)$$

**Discrétisation spatiale**

$$\Omega = \bigcup_{i=1}^N \Omega_i, \quad \Omega_i = \prod_{j=1}^3 ]x_j, x_j + h[$$

$V_h$  : fonctions constantes par morceaux sur les mailles.



## EMicroM – Champ démagnétisant

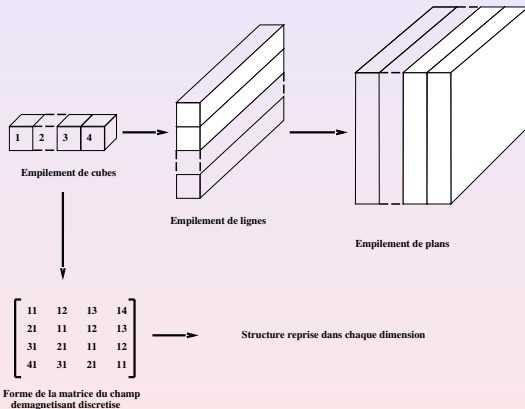
Formule de représentation discrète

$$H_d^h((m_j)_{j=1}^N)_i = \tilde{P}_h \circ H_d \circ R_h((m_j)_{j=1}^N)_i$$
$$= \frac{1}{|\Omega_i|} \int_{\Omega_i} \left\{ \sum_{j=1}^N m_j \int_{\Omega_j} \mathbf{grad} \operatorname{div} \left( \frac{1}{4\pi |x-y|} \right) dy \right\} dx$$

$R_h$  : relèvement de  $V_h$  vers  $L^2(\mathbb{R}^3, \mathbb{R}^3)$ . **Calculé analytiquement.**  
 $\tilde{P}_h$  : projection de  $L^2(\mathbb{R}^3, \mathbb{R}^3)$  sur  $V_h$ . **Calculée numériquement par intégration de Gauss.**



# EMicroM – Champ démagnétisant



# EMicroM – Champ démagnétisant

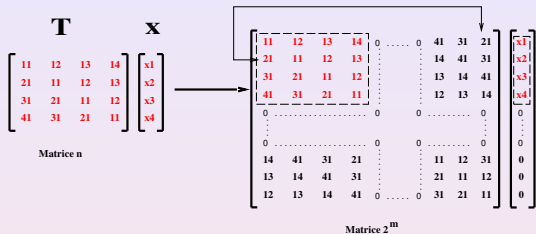


Diagram illustrating the multiplication of the  $2^m$  matrix by the vector  $x$ , resulting in a zero vector.

$$\begin{bmatrix} 11 & 12 & 13 & 14 & 0 & \dots & 0 & 41 & 31 & 21 \\ 21 & 11 & 12 & 13 & 0 & \dots & 0 & 14 & 41 & 31 \\ 31 & 21 & 11 & 12 & 0 & \dots & 0 & 13 & 14 & 41 \\ 41 & 31 & 21 & 11 & 0 & \dots & 0 & 12 & 13 & 14 \\ 0 & \dots & 0 & 0 & \dots & 0 & 0 & 0 & \dots & 0 \\ \vdots & & & & & & & & & \\ 0 & \dots & 0 & 0 & \dots & 0 & 0 & 0 & \dots & 0 \\ 14 & 41 & 31 & 21 & 0 & \dots & 0 & 11 & 12 & 31 \\ 13 & 14 & 41 & 31 & 0 & \dots & 0 & 21 & 11 & 12 \\ 12 & 13 & 14 & 41 & 0 & \dots & 0 & 31 & 21 & 11 \end{bmatrix} \begin{bmatrix} x1 \\ x2 \\ x3 \\ x4 \\ 0 \\ \vdots \\ 0 \\ 0 \\ 0 \\ 0 \end{bmatrix} = \begin{bmatrix} 0 \\ \vdots \\ 0 \\ \times \\ 0 \end{bmatrix}$$

The diagram shows the  $2^m$  matrix from the previous slide multiplied by the vector  $x$ . The result is a vector with a zero in the first position and a cross ( $\times$ ) in the  $n$ -th position, indicating a non-zero result.



## EMicroM – Champ démagnétisant

The diagram shows the tensor product of a 4x4 matrix and a 4x1 vector. The matrix has a 4x4 sub-block with red numbers:  $\begin{bmatrix} 11 & 12 & 13 & 14 \\ 21 & 11 & 12 & 13 \\ 31 & 21 & 11 & 12 \\ 41 & 31 & 21 & 11 \end{bmatrix}$ . The vector has red elements  $x1, x2, x3, x4$ . The result is a 4x2 matrix with red elements:  $\begin{bmatrix} 11 & x1 \\ 21 & x2 \\ 31 & x3 \\ 41 & x4 \end{bmatrix}$ . The text "Produit tensoriel" is written below the result matrix.

$$\begin{bmatrix} 11 & 12 & 13 & 14 & 41 & 31 & 21 \\ 21 & 11 & 12 & 13 & 14 & 41 & 31 \\ 31 & 21 & 11 & 12 & 13 & 14 & 41 \\ 41 & 31 & 21 & 11 & 12 & 13 & 14 \\ 14 & 41 & 31 & 21 & 11 & 12 & 31 \\ 13 & 14 & 41 & 31 & 21 & 11 & 12 \\ 12 & 13 & 14 & 41 & 31 & 21 & 11 \end{bmatrix} \begin{bmatrix} x1 \\ x2 \\ x3 \\ x4 \\ 0 \\ 0 \\ 0 \end{bmatrix} = \begin{bmatrix} \mathbf{Tx} \\ \times \end{bmatrix} = \begin{bmatrix} 11 & x1 \\ 21 & x2 \\ 31 & x3 \\ 41 & x4 \\ 14 & 0 \\ 13 & 0 \\ 12 & 0 \end{bmatrix}$$

Produit tensoriel

# EMicroM – Champ démagnétisant

L'approximation ainsi construite :

- positive, de norme inférieure ou égale à 1,
- calculé avec une complexité en  $O(N \log(N))$  où  $N$  est le nombre de mailles.
- Peut-être appliquée à toutes les formes de domaines.

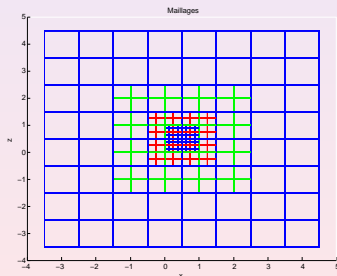


# EMicroM – Champ démagnétisant : extension

Collaboration avec S. Faure (Université Paris 11)

**But** : avoir une méthode compatible avec la méthode de calcul rapide dans le cas non périodique.

**Approche** : utilisation de la décroissance du champ à travers un maillage diadique multi-niveaux.



# EMicroM – Schéma en temps

Ce que l'on veut respecter dans le schéma en temps

- décroissance de l'énergie,
- conservation de la norme de l'aimantation.

Les contraintes

- problème "plein" (champ démagnétisant) rendant peu viable les schémas implicites.



## EMicroM – Schéma en temps

On choisi donc un schéma explicite

## Schéma en temps

$$\begin{cases} m_{i+1} &= m_i + \Delta t_j F_h(m_i, \Delta t_j, H_{ext}), \\ m_0 &= m(0), \end{cases}$$

ou

$$F_h(m_i, \Delta t_j, H_{ext}) = f_h(m_i, H_{ext}) + \frac{\Delta t_j^2}{2} D_m f_h(m_i, H_{ext}) \cdot f_h$$



# EMicroM – Schéma en temps

Le pas de temps  $\Delta t_i$  est alors optimisé pour assurer :

- la décroissance optimale de l'énergie :

$$E(m^{n+1}) - E(m^n) = -\alpha \Delta t_n \|m^n \wedge H(m^n)\|^2 + O(\Delta t_i^2).$$

- La conservation de la norme de l'aimantation :  
 $|m| = 1 + O(\Delta t_i^2)$  en tout point du maillage.
- La convergence de la discrétisation dans les espaces adéquates.



# Position du problème

## La susceptibilité

- Réponse  $\delta m e^{i\omega t}$  du système à de petites perturbations harmoniques  $\delta h e^{i\omega t}$  autour de la position d'équilibre  $m_{eq}$ .

## Comment la simule-t-on ?

- Linéarisation des équations autour de l'équilibre,
- Résolution de systèmes linéaires pour un échantillonnage de fréquences.

## Difficultés

- Beaucoup de degrés de liberté
- Système très mal conditionné



# Equations

Perturbation du champ extérieur suivant trois directions :

$$\delta h_1 e^{i\omega t}, \delta h_2 e^{i\omega t}, \delta h_3 e^{i\omega t}$$

$(\delta h_1, \delta h_2, \delta h_3)$  : base orthogonale.

Réponses supposées harmoniques obtenues par linéarisation autour de  $m_{eq}$  :

$$\delta m_1 e^{i\omega t}, \delta m_2 e^{i\omega t}, \delta m_3 e^{i\omega t}$$

On définit alors la susceptibilité

$$\forall (i, j) \in \{1, \dots, 3\}^2, \chi(\omega)_{i,j} = (\delta m_i, \delta h_j)_{(L^2(\Omega))^3}$$



# Equations

## Linéarisation

Système linéarisé autour d'un état d'équilibre pour une perturbation  $\delta h e^{i\omega t}$  et une réponse  $\delta m e^{i\omega t}$

$$i\omega\delta m - (D_1 \circ h + D_2)\delta m = D_1\delta h$$

Avec

$$D_1 u = -m_{eq} \wedge u - \alpha m_{eq} \wedge (m_{eq} \wedge u)$$
$$D_2 u = H(m_{eq}) \wedge u - \alpha m_{eq} (u \wedge H(m_{eq}))$$



## SMicroM

## Discrétisation

Problème discret pour N mailles :

$$(i\omega Id_{3N} - D_1^h H_h - D_2^h) \delta m^h = D_1^h \delta h^h$$

Où  $D_1^h$ ,  $D_2^h$  et  $H_h$  sont des matrices d'ordre 3 N (même discrétisation que pour le problème d'équilibre).



# SMicroM

## Préconditionnement

Grâce à la forme particulière de  $D_1^h$  et  $D_2^h$  on montre que :  
Un bon preconditionnement revient à utiliser l'inverse de  
 $i\omega Id_{3N} - \Delta^h$

**Mais** Calcul de  $(i\omega Id_{3N} - \Delta^h)^{-1}$  trop coûteux.

## Solution

- Utilisation de la projection de  $i\omega Id_{3N} - \Delta^h$  sur les matrices circulantes au sens de la norme de Froebenius.
- Exploitation des propriétés des matrices circulantes pour calculer le produit de l'inverse approché par un vecteur avec une complexité de  $O(N \log(N))$ .



# Vortex dans une plaque hexagonale de cobalt

Plaque hexagonale de 3400 Å de diamètre et 368 Å d'épaisseur.

Configuration initiale : aimantation aléatoire.

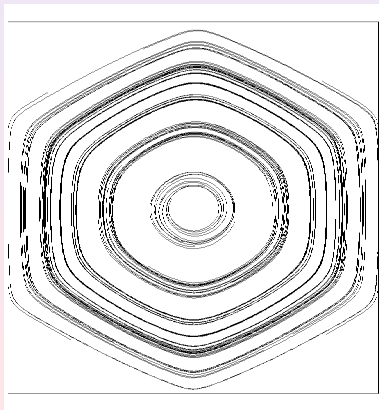
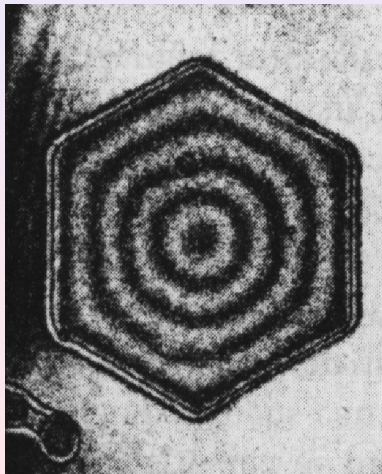
Anisotropie uniaxiale d'axe perpendiculaire à la plaque.

$M_s$	Aimantation (A/m)	$1,4 \cdot 10^6$
$K$	Anisotropie (J/m <sup>3</sup> )	$5,00 \cdot 10^5$
$A$	Echange (J/m)	$10^{-11}$

Maillage : 98 304 degrés de liberté.

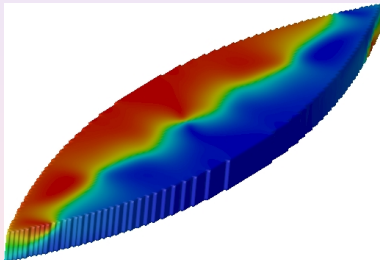
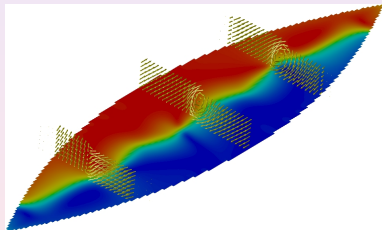


# Vortex dans une plaque hexagonale de cobalt



# Une particule

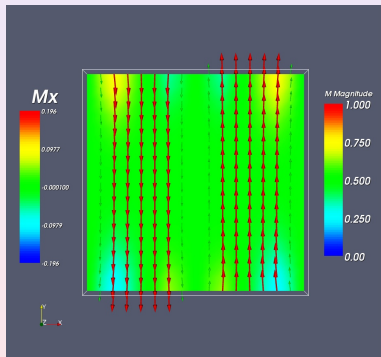
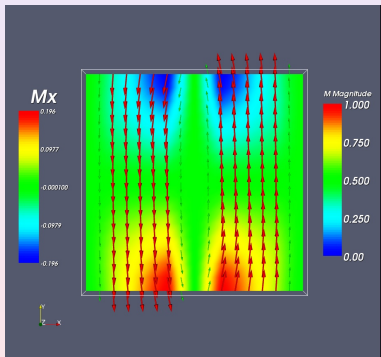
Collaboration Dassault (N. Vukadinovic) et ONERA (F. Boust)



Particule de Permalloy, 98304 degrés de liberté.

# Domaine périodique

Collaboration avec S. Faure (Université Paris Sud)



# Domaine périodique

Collaboration avec S. Faure (Université Paris Sud)

